

УДК 539.126

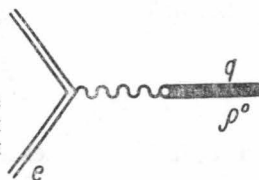
Д. В. ГАЛЬЦОВ, Н. С. НИКИТИНА

МАГНИТОТОРМОЗНОЕ РОЖДЕНИЕ ВЕКТОРНЫХ МЕЗОНОВ

В рамках модели векторной доминантности рассмотрено рождение векторных мезонов при движении релятивистских электронов в сильном магнитном поле. Показано, что в условиях пульсаров процесс может происходить, начиная с энергий электрона порядка 10^4 Гэв.

При движении ультрарелятивистских электронов в сильном магнитном поле помимо получения фотонов [1], рождения электрон-позитронных и мюонных пар [2] может происходить также рождение сильно взаимодействующих частиц. Вероятности таких процессов могут быть вычислены на основании тех или иных модельных представлений о структуре электромагнитного тока адронов. Наиболее простой, по-видимому, является модель векторной доминантности [3], в которой предпо-

Диagramma, описывающая магнитотормозное рождение ρ^0 -мезона в модели векторной доминантности. Двойная линия соответствует электрону во внешнем магнитном поле



лагается, что адронный электромагнитный ток совпадает с линейной комбинацией полей нейтральных векторных мезонов ρ^0 , ω , ϕ . В рамках этой модели любой процесс, сопровождающийся излучением фотона, может (если это не противоречит закону сохранения энергии-импульса) также сопровождаться рождением нейтральной векторной частицы. В настоящей работе вычисляется вероятность рождения векторного мезона (для определенности ρ^0 -мезона) при движении электрона в однородном магнитном поле. Аналогичный процесс в кулоновском поле был рассмотрен в работе [4].

Как и в задаче о магнитотормозном излучении, будем учитывать влияние внешнего поля точно, т. е. выбираем представление Фарри. Соответствующая фейнмановская диаграмма показана на рисунке. Вершине фотон-векторный мезон сопоставляется константа связи $\mu^2/2\gamma\rho$, где μ — масса векторной частицы, $\gamma\rho^2/4\pi \sim 0,5$.

Решения уравнения Дирака для электрона в однородном магнитном поле хорошо известны [1]. Состояния электрона характеризуются спиновым ($\zeta = \pm 1$) и орбитальными ($p_z, n=0, 1, 2, \dots, s=0, 1, 2, \dots$) квантовыми числами (ось z системы координат выбрана вдоль направления магнитного поля). В системе отсчета, в которой составляющая начального импульса вдоль поля равна нулю, энергия электрона определяется формулой

$$p_0 = m \sqrt{1 + 2n \frac{H}{H_0}} \quad (\hbar = c = 1),$$

где $H_0 = \frac{m^2}{e} \simeq 1,3 \cdot 10^{13}$ абс. хэвисайдовских единиц.

В результате «излучения» ρ^0 -мезона с импульсом q_μ (без ограничения общности считаем, что импульс лежит в плоскости yz) электрон переходит в состояние, характеризующееся квантовыми числами $n' = n - \nu$ и $p'_z = -q_z = -q \cos \theta$. Минимальное значение числа ν определяется условием $\vec{q} = 0$, что дает

$$\nu_0 \simeq \frac{\mu p_0}{m^2} \frac{H_0}{H} \gg 1. \quad (1)$$

Условием (1) и определяется основное кинематическое отличие (помимо различных поляризационных свойств) процесса излучения частицы с конечной массой покоя от излучения фотона. В частности, заранее очевидно, что рассматриваемый процесс может осуществляться только при очень больших энергиях электрона, когда отношение $\frac{m}{p_0} = \sqrt{\epsilon_0}$ мало. В дальнейшем все выражения будут систематически разлагаться по малым параметрам $\sqrt{\epsilon_0}$ и $\cos \theta$ (последний параметр мал, поскольку излучение ультрарелятивистской частицы сосредоточено в интервале углов $\cos \theta \sim \sqrt{\epsilon_0}$).

Матричный элемент, соответствующий диаграмме, показанной на рисунке, имеет вид

$$M_{nn'} = \frac{e^2}{2\gamma_\rho} \frac{e_\mu^*(\vec{q}, \lambda) j_{nn'}^\mu(\vec{q})}{\sqrt{2q_0}}. \quad (2)$$

Здесь $e_\alpha(\vec{q}, \lambda)$ — 4-векторы поляризации векторного мезона ($\lambda = 1, 2, 3$);

$$j_{nn'}^\mu(\vec{q}) = \int \bar{\Psi}_{n's'p'_z}(\vec{r}) \gamma^\mu \Psi_{nso}(\vec{r}) e^{-i\vec{q}\vec{r}} d^3r \quad (3)$$

Фурье-компоненты тока перехода.

Вычисление интегралов в (3) приводит к функциям Лагерра [1]:

$$I_{nn'}(x) = \frac{1}{\sqrt{n!n'!}} e^{-x/2} x^{\frac{n-n'}{2}} Q_n^{n-n'}(x),$$

где $Q_n^{n-n'}(x)$ — обобщенные полиномы Лагерра,

$$x = \frac{(q_0^2 - \mu^2)}{2eH} \sin^2 \theta. \quad (4)$$

Законы сохранения энергии и проекции импульса на направление поля дают для энергии мезона следующее выражение:

$$q_0 = \frac{\rho_0}{\sin^2 \theta} \left(1 - \sqrt{1 - \left[2v \frac{H}{H_0} + \left(\frac{\mu}{m} \cos \theta \right)^2 \right] \varepsilon_0 \sin^2 \theta} \right). \quad (5)$$

Подставляя (5) в (4), в результате разложения в ряд по ε_0 и $\cos \theta$ найдем

$$x = x_0 \left[1 - \sqrt{\frac{n}{n'}} \left(\varepsilon_0 + \cos^2 \theta \right) + \frac{v_0^2}{4nx_0} \sqrt{\frac{n'}{n}} \right].$$

Далее предположим, что электрон в конечном состоянии остается релятивистским, точнее:

$$\varepsilon_0 \sqrt{\frac{n}{n'}} \ll 1.$$

При этом условии аргумент функций Лагерра x мало отличается от $x_0 = (\sqrt{n} - \sqrt{n'})^2$, и мы можем использовать аппроксимацию [1]:

$$I_{nn'}(x) \simeq \frac{1}{\pi \sqrt{3}} \left(1 - \frac{x}{x_0} \right)^{1/2} K_{1/3} \left[\frac{2}{3} \sqrt[4]{nn'x_0^2} \left(1 - \frac{x}{x_0} \right)^{3/2} \right]. \quad (6)$$

Как будет показано ниже, точность этого приближения достаточна, если дополнительно воспользоваться градиентной инвариантностью матричного элемента.

Вводя обозначения

$$\xi = \frac{3}{4n} \left(\frac{\rho_0}{m} \right)^{3/2}; \quad y = \frac{2}{3} \frac{H_0}{H} \frac{m}{\rho_0} \frac{q_0}{\rho_0 - q_0}$$

и учитывая вытекающие отсюда соотношения

$$\sqrt{\frac{n}{n'}} = 1 + \xi y; \quad x_0 = n \left(\frac{\xi y}{1 + \xi y} \right)^2,$$

получим

$$1 - \frac{x}{x_0} = \varepsilon_1 (1 + \xi y), \quad \varepsilon_1 = \left(1 + \frac{\mu^2}{m^2} \frac{1 + \xi y}{\xi^2 y^2} \right) \varepsilon_0 + \cos^2 \theta.$$

Фурье-образы компонентов тока перехода (3) в этих обозначениях имеют следующий вид:

$$j_{nn'}^1 \simeq \delta_{\rho_z', -q \cos \theta} I_{ss'}(x) \frac{i \sqrt{\varepsilon_1 (1 + \xi y)}}{\pi^4 \sqrt{3}} \{ [(\zeta + \zeta') \sqrt{\varepsilon_0} - (1 - \zeta \zeta') \cos \theta] \xi y K_{1/3} - (1 + \zeta \zeta') (2 + \xi y) \sqrt{\varepsilon_1} K_{2/3} \}; \quad (7)$$

$$j_{nn'}^2 \simeq j_{nn'}^0 \simeq \delta_{\rho_z', -q \cos \theta} I_{ss'}(x) \frac{\sqrt{\varepsilon_1 (1 + \xi y)}}{\pi^2 \sqrt{3}} (1 + \zeta \zeta') \left[K_{1/3} - \frac{1}{2} \xi y \sqrt{\varepsilon_1} K_{2/3} \right];$$

$$j_{nn'}^3 \simeq \delta_{\rho_z', -q \cos \theta} I_{ss'}(x) \frac{\sqrt{\varepsilon_1 (1 + \xi y)}}{\pi^4 \sqrt{3}} \xi y \{ [(\zeta' - \zeta) \sqrt{\varepsilon_0} - (1 + \zeta \zeta') \cos \theta] K_{1/3} - (1 - \zeta \zeta') \sqrt{\varepsilon_1} K_{2/3} \},$$

где аргумент функций Макдональда $K_{1/3}$ и $K_{2/3}$

$$z = \frac{1}{2} \left(\frac{\varepsilon_1}{\varepsilon_0} \right)^{3/2} y.$$

Вероятность перехода в единицу времени, просуммированная по состояниям поляризации векторного мезона, определяется формулой

$$d\omega = \frac{1}{4\gamma_p^2} \left(\frac{e^2}{4\pi} \right)^2 \sum_{n', p'_z, \zeta', s'} (\vec{j}_{nn'}^* \vec{j}_{nn'} - j_{nn'}^{0*} j_{nn'}^0) \delta(p_0 - p'_0 - q_0) \frac{d^3q}{q_0}. \quad (8)$$

Из выражений (7) видно, что компоненты тока, входящие в (8), получены с разной точностью: $(j_{nn'}^1)^2$ и $(j_{nn'}^3)^2$ порядка ε_0^2 , а $(j_{nn'}^0)^2$ и $(j_{nn'}^2)^2 \sim \sqrt{\varepsilon_0^3}$, причем в квадрат матричного элемента (3) отличный от нуля вклад дает слагаемое порядка ε_0^2 . Таким образом, $(j_{nn'}^1)^2$ и $(j_{nn'}^2)^2$ должны быть вычислены с точностью до ε_0^2 . Это можно сделать путем дополнительного использования градиентной инвариантности, не прибегая к вычислению следующих членов разложения в (6):

$$q_\mu j^\mu(\vec{q}) = q_0 j_{nn'}^0 - q j_{nn'}^2 \sin \theta - q j_{nn'}^3 \cos \theta = 0. \quad (9)$$

Получив из формулы (5) соотношение

$$\frac{q}{q_0} \simeq 1 - \frac{1}{2} \left(\frac{\mu}{m} \frac{1 + \xi y}{\xi y} \right)^2 \varepsilon_0$$

и подставляя его вместе с выражением (7) в (9), вычислим разность $|j_{nn'}^2|^2 - |j_{nn'}^0|^2$ с требуемой точностью:

$$|j_{nn'}^2|^2 - |j_{nn'}^0|^2 = \frac{1 + \xi y}{6\pi^2} \varepsilon_1 (\varepsilon_1 - \varepsilon_0) (1 + \zeta \zeta') K_{1/2}^2(z).$$

Проводя в выражении (8) интегрирование по q с помощью δ -функции, суммирование по p'_z, ζ', s' , усреднение по ζ и, наконец, заменяя суммирование по n' интегрированием по y , придем к следующему выражению:

$$\omega = \frac{1}{\gamma_p^2} \left(\frac{e^2}{4\pi} \right)^2 \frac{n p_0 \xi^2}{6\pi} \int_{y_0}^{\infty} \frac{y dy}{(1 + \xi y)^3} \int_{-\pi/2}^{\pi/2} \varepsilon_1 \{ [4(1 + \xi y)(\varepsilon_1 - \varepsilon_0) + 2\xi^2 y^2 (\varepsilon_0 + \cos^2 \theta)] K_{1/2}^2(z) + \varepsilon_1 [(2 + \xi y)^2 + \xi^2 y^2] K_{3/2}^2(z) \} \sin \theta d\theta,$$

где

$$y_0 = \frac{\mu}{\xi p_0}.$$

Интегралы по θ вычисляются обычным способом [1], в результате чего запишем

$$\omega = \left(\frac{e^2}{4\pi} \right)^2 \frac{\sqrt{3}}{4\gamma_p^2} \frac{H}{H_0} m \int_{y_0}^{\infty} dy \left[f(y) K_{1/2}(\eta(y)) - g(y) \int_{\eta(y)}^{\infty} K_{1/2}(x) dx \right], \quad (10)$$

где

$$\eta(y) = y \left(1 + \frac{\mu^2}{m^2} \frac{1 + \xi y}{\xi^2 y^2} \right)^{3/2},$$

$$f(y) = 2 \frac{1 + (1 + \xi y)^2}{(1 + \xi y)^3} \left(1 + \frac{\mu^2}{m^2} \frac{1 + \xi y}{\xi^2 y^2} \right), \quad g(y) = \frac{2 + \frac{\mu^2}{m^2}}{(1 + \xi y)^2}.$$

Далее рассмотрим в выражении (10) первый интеграл. Ввиду быстрого убывания функции $K_{2/3}(\eta(y))$ при больших значениях аргумента очевидно, что существенный вклад дает та область переменной y , в которой функция $\eta(y)$ принимает наименьшее значение. Найдем точку минимума $\eta(y)$:

$$\frac{\partial \eta(y_1)}{\partial y} = 0; \quad y_1 = \frac{\mu^2}{2m^2 \xi}; \quad \frac{\partial^2 \eta(y_1)}{\partial y^2} = \frac{\sqrt{3}}{y_1}.$$

Результат интегрирования будет существенно различным при $y_1 \gg 1$ и $y_1 \ll 1$. Ограничимся рассмотрением случая

$$\frac{\mu^2}{m \rho_0} \frac{H_0}{H} \gg 1. \quad (11)$$

При этом условии аргумент η функции $K_{2/3}$ всюду велик и для последней можно воспользоваться асимптотическим разложением

$$K_{2/3}(\eta) \simeq \sqrt{\frac{\pi}{2\eta}} e^{-\eta}.$$

В окрестности минимума функция $\eta(y)$ может быть аппроксимирована параболой

$$\eta(y) \simeq 3\sqrt{3}y_1 + \frac{\sqrt{3}}{2y_1}(y - y_1)^2.$$

Наконец, функцию $f(y)$ возьмем в точке y_1 и вынесем за знак интегрирования. Окончательно получим

$$\int_{y_0}^{\infty} f(y) K_{2/3}(\eta(y)) dy \simeq 4\pi \frac{m^2}{\mu^2} e^{-3\sqrt{3}y_1}. \quad (12)$$

Обратимся ко второму интегралу в (10). Интегрируя по частям, приведем его к виду

$$\frac{2y_1}{1 + \xi y_0} \int_{\eta(y_0)}^{\infty} K_{1/3}(x) dx - 2y_1 \int_{y_0}^{\infty} \frac{\partial \eta}{\partial y} \frac{K_{1/3}(\eta(y))}{1 + \xi y} dy. \quad (13)$$

Величина

$$\eta(y_0) \simeq \frac{2}{3} \frac{\mu \rho_0}{m^2} \frac{H_0}{H} \gg 1,$$

причем

$$\frac{\eta(y_0)}{y_1} = \frac{\rho_0^2}{\mu m} \gg 1.$$

Поэтому вклад первого интеграла в (13) при выполнении условия (11) пренебрежимо мал по сравнению с интегралом (12). Второй интеграл в (13) может быть вычислен аналогично (12), при этом, поскольку $\frac{\partial \eta(y_1)}{\partial y} = 0$, его вклад также мал. Таким образом, вкладом выражения (13) можно пренебречь.

Окончательно для вероятности рождения ρ^0 -мезона при условии (11) получим следующее приближенное выражение:

$$\omega \simeq \left(\frac{e^2}{4\pi} \right)^2 \frac{\pi \sqrt{3}}{\gamma_\rho^2} \frac{m^2}{\mu^2} \frac{H}{H_0} m \exp \left(-\sqrt{3} \frac{\mu^2}{m\rho_0} \frac{H_0}{H} \right).$$

Из этой формулы видно, что фактически рождение векторных мезонов начинается при энергии электрона

$$\rho_0 (\text{Гэв}) \simeq \frac{\mu^2}{m} \frac{H_0}{H} \simeq \frac{5 \cdot 10^{16}}{H (\text{гаусс})}$$

и, очевидно, может осуществляться лишь при очень больших значениях H . В частности, рассмотренный процесс может реализоваться в условиях пульсаров, где обычно предполагается $H \sim 0,1 H_0$. При этом для рождения ρ^0 -мезона необходима энергия электрона порядка 10^4 Гэв.

В случае мюонов требуемая энергия в $\frac{m_\mu}{m_e}$ раз больше.

В заключение отметим, что ввиду аналогичной кинематики проделанный расчет в вычислительном отношении близок к расчету процесса «излучения» пиона протоном, исследованного в [5].

Авторы благодарят проф. А. А. Соколова за внимание к работе.

ЛИТЕРАТУРА

1. «Синхротронное излучение», сб. под ред. А. А. Соколова и И. М. Тернова. М., 1966.
2. Байер В. Н., Катков В. М., Страховенко В. М. «Ядерная физика», **14**, 1020, 1971.
3. Электромагнитные взаимодействия и структура элементарных частиц, сб. статей под ред. А. М. Балдина. М., 1969.
4. Andersen S. M., Halperin A., Primakoff H. Ann. of Phys., **40**, 54, 1966.
5. Рязанов Г. В. Дипломная работа, МГУ, 1954.

Поступила в редакцию
21.1 1972 г.

Кафедра
теоретической физики